

Холла, максимум гальваномагнитного эффекта и уменьшение удельного электрического сопротивления на 24 %. Указанная область температур включает в себя температуру магнитного превращения антиферромагнетизм — ферромагнетизм $T_s = 319^\circ\text{K}$. (Относительно метода определения T_s будет сказано ниже.) Обращает на себя внимание, что при изменении характера спинового упорядочения меняются не только абсолютные значения гальваномагнитных эффектов $\Delta R / R$ и э. д. с. Холла, но также и их

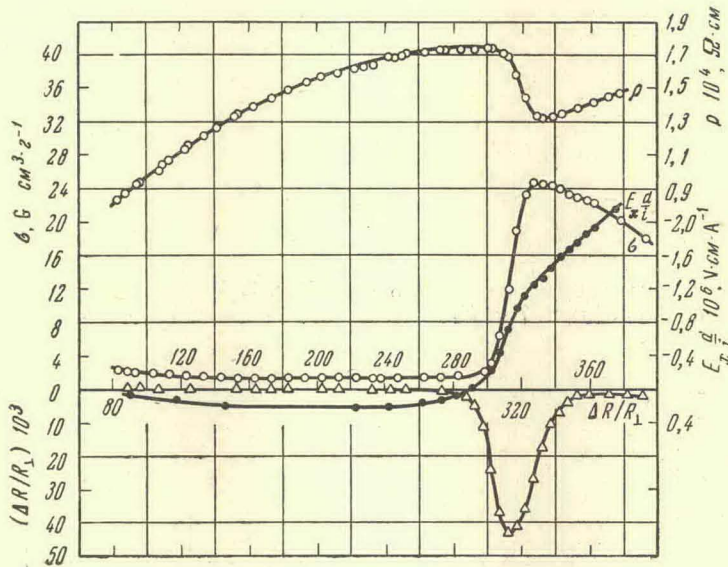


Рис. 1. Температурные зависимости удельного электрического сопротивления ρ , удельной намагниченности σ , э. д. с. Холла $E_x d / i$ и гальваномагнитного эффекта $\Delta R / R$

знаки. При низких температурах, в области существования антиферромагнетизма, $\Delta R / R$ и э. д. с. Холла имеют положительный знак, однако абсолютные величины этих эффектов значительно меньше, чем в ферромагнитном состоянии. Например, при температуре 77°K и напряженности поля 15 кОе $\Delta R / R = 0.8 \cdot 10^{-5}$. При температурах выше T_s , т. е. при наличии ферромагнитного упорядочения спинов, знаки $\Delta R / R$ и э. д. с. Холла отрицательны.

На рис. 2 и 3 представлены изотермы поперечного гальваномагнитного эффекта, измеренные как ниже (рис. 2), так и выше (рис. 3) температуры перехода. На основании этих измерений были получены кривые (рис. 4), характеризующие температурную зависимость поперечного гальваномагнитного эффекта при различных напряженностях внешнего магнитного поля. Здесь так же, как и для обычных ферромагнетиков в точке Кюри, наблюдается максимум $\Delta R / R$ при температуре перехода, однако величина эффекта почти в два раза больше, чем для переходов ферромагнетизма — парамагнетизма [6] и, кроме того, в данном случае сама температура перехода T_s зависит от напряженности внешнего магнитного поля. Это видно из того, что при увеличении поля наблюдается смещение температуры, при которой достигается максимум $\Delta R / R$. На рис. 5 показано изменение температуры перехода T_s , определенной по максимуму гальваномагнитного эффекта, в зависимости от напряженности магнитного поля, откуда видно,

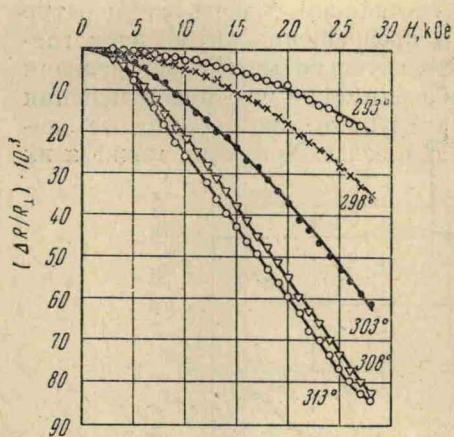


Рис. 2. Изотермы гальваномагнитного эффекта $\Delta R / R$ при $T < T_s$

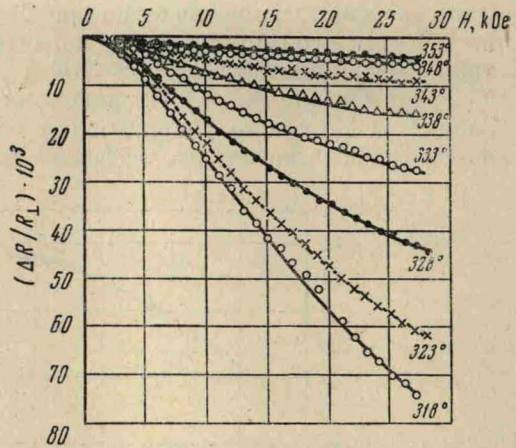


Рис. 3. Изотермы гальваномагнитного эффекта $\Delta R / R$ при $T > T_s$

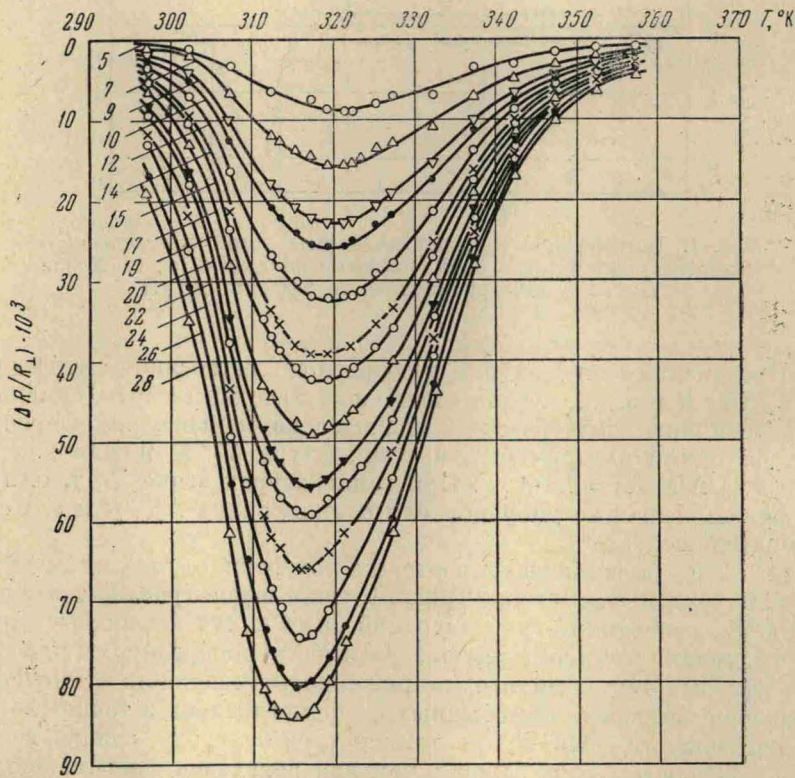


Рис. 4. Температурные зависимости гальваномагнитного эффекта при разных значениях напряженности внешнего магнитного поля